

TI780-3, Fig. C1We: Elemento A: reticolli radiali N-W; W-N; N-Z i W-Z; PS operator: *rgb/cmy0*

$L^*/Y_{\text{immettere}}$ 18.0/2.5 37.3/9.7 56.7/24.6 76.1/49.9 95.4/88.6 N_0 (min.) W_1 (max.)
(*assoluta*)



$w^*-l^*_{\text{CIELAB}, r}$ (*relativo*)
 $w^*_{\text{immettere}}$ 0,000 0,250 0,500 0,750 1,000 N_0 (min.) W_1 (max.)

TI780-5, Fig. C2We: Elemento B: 5 equidistante L^* grigio passi + N_0 + W_1 ; PS operator: *rgb/cmy0*

$L^*/Y_{\text{immettere}}$ 18.0/2.5 23.2/3.8 28.3/5.6 33.5/7.8 38.6/10.5 43.8/13.7 49.0/17.6
(*assoluta*)

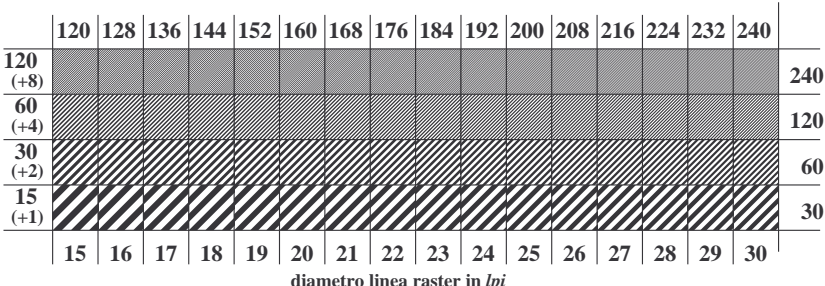


N. e codice Hex 00;F 01;E 02;D 03;C 04;B 05;A 06;9 07;8 08;7 09;6 10;5 11;4 12;3 13;2 14;1 15;0
 $w^*-l^*_{\text{CIELAB}, r}$ (*relativo*)
 $w^*_{\text{immettere}}$ 0,000 0,067 0,133 0,200 0,267 0,333 0,400 0,467 0,533 0,600 0,667 0,733 0,800 0,867 0,933 1,000

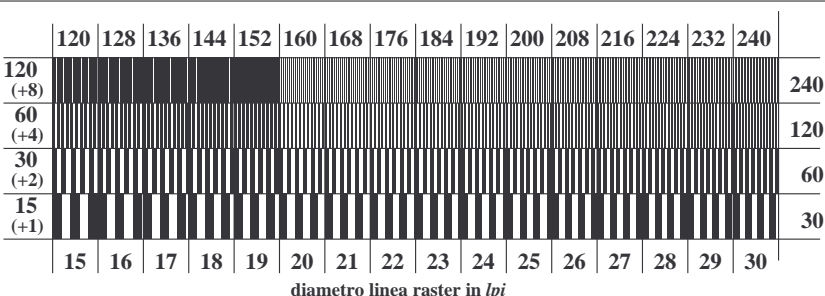
TI780-7, Fig. C3We: Elemento C: 16 equidistante L^* grigio passi; PS operator: *rgb/cmy0*

lo sfondo passo	0	○ ○ ○ ○ ○ ○ ○ ○	1 anello passo	○—1
codice esadecimale	7	○○○○○○○○	codice esadecimale	7—8
	E	○○○○○○○○		E—F
	2	○○○○○○○○		2—0
	8	○○○○○○○○		6—8
	F	○○○○○○○○		F—D

TI781-1, Fig. C4We: Elemento D: anelli di Landolt W-N; PS operator: *rgb/cmy0*



TI781-3, Fig. C5We: Elemento E: Linea raster a 45° (o 135°) gradi; PS operator: *rgb/cmy0*



TI781-5, Fig. C6We: Elemento F: Linea raster a 90° (o 180°) gradi; PS operator: *rgb/cmy0*

